

大阪大学工学部 正員 前田幸雄  
大阪大学工学部 正員 ○梶川靖治

1. まえがき 合成げた橋の両端付近では一般に作用曲げモーメントが小さいため、この部分のすれ止めを省き非合成とする一種のいわゆる断続形式の合成げたが考えられる。さらに、連続合成げた橋においても、中間支点付近の負モーメントによる床版引張応力をプレストレスを導入することなく低減させるために、この部分にすれ止めを配置せず、さらによく端付近を非合成とする構造形式が考えられる。

ところで筆者らは、本構造形式合成げたの有用性を判定する基礎資料を得るために、これまでに単純および連続げたについて模型合成げたによる一連の静的および疲労試験<sup>1)~4)</sup>を実施してきだが、その結果本形式合成げたの力学的性状は通常の換算断面を用いる曲げ理論では説明できないことがわかった。そこで、この断続形式合成げたの応力変形性状を定量的に把握するために、すれ止めの弾性変形を考慮に入れた弹性合成理論を導入して解析を行ない、実験結果をより一層厳密に評価し、かつ本構造形式合成げたの力学的特性を明らかにすることを試みた。

2. 解析方法 弹性合成理論については、すでに数多くの人々により研究されているが、ここでは N. M. Newmark などにより導かれた微分方程式<sup>5)</sup>を利用することとした。すなわち、基礎式は次のように表される。

$$\frac{d^2N}{dx^2} - \omega^2 N = -\gamma M \quad \begin{aligned} N: & \text{軸方向力,} \\ M: & \text{作用曲げモーメント,} \\ \omega^2: & \alpha \cdot C, \quad \gamma = \beta \cdot C \end{aligned}$$

$\gamma$ : 端支点からの距離  
 $\alpha, \beta$ : 断面諸量に関する常数,  
 $C$ : 鋼げたとコンクリート床版の弾性結合のバネ常数

バネ常数  $C$  の値が橋軸方向に一定の場合には、境界条件および連続条件を考慮することにより軸力  $N$  に対する厳密解を容易に求めることができると、ここで取り扱うような構造形式では  $C$  の値を  $x$  方向のある区间毎に種々変化させる必要があるので、上式を任意の荷重状態に対して解くことはじょく困難となる。そこで、上式を有限差分表示し、電子計算機により近似解を求めることにした。このため、 $C$  の値が変わることに伴う  $x$  方向に分割し、各区间内において上式が成立するものとし、隣接する区间同志に対してはすれの連続条件を用い、さらにげたの端部境界条件を入れて数値計算を行なった。なお、二三のケースについて厳密解と近似解とを比較した結果、差分の分割数を十分多くすれば(今回の場合約100分割程度以上)、ほぼ満足すべき値が得られることがわかった。さらに、この手法によれば、本構造形式をとる変断面ばりや連続げたの場合についてもほぼ同様に解けでき、またクリップ温度差あるいは収縮応力等についても比較的容易に算出することができると思われる。

3. 計算結果と実験値との比較 これまでに実施した実験シリーズの中から、計算例の対象として、単純げたについての疲労試験結果を取り上げてみた。供試体の断面寸法を図-1に、載荷位置、すれ止め配置などは図-1および図-3の上部に示すところである。各試験体について理論値を求める場合、ある区间(区间長  $b_i$ )のバネ常数  $C_i$  はスタッドのすれ常数  $\kappa_i$  とスタッド間隔  $s_i$  とにより、 $C_i = \kappa_i / s_i$  として表わせるものとして、まず先に一定値をとえ、 $\kappa_i$  の値により  $C_i$  を種々変化させることとした。なお、 $\kappa_i$  の値はほぼスタッド固有の値と考えられ、これまでに行なわれた数多くの押しほき試験結果からは大体  $10^5 \sim 10^6$  のオーダーの値が得られている。そこで、3つのパラメータ  $\kappa_i, C_i, b_i$  の値を適当に組み合わせ、Trial and Error により、実験値(主として、すれ止めの中立軸位置の各測定値)と良く一致するよう計算値を求めた例を図-2および図-3に示す。その時の各値は表-1に示すところである。図-2および図-3の(a), (b)において、変形(すれ)、応力(中立軸位置)性状ともかなり良い一致をみていくことがわかる。さらに、図-2(c)および図-3(c)には、表-1のパラメータの値をもとに計算した鋼・コンクリート接触面に作用する水平せん断力の分布を示したが、これらの図から明らかなように、合成・非合成の境界

位置では、ヤング係数比による換算断面を用いての通常の計算方法により得られる値(図中、点線で示す)の最大4~5倍ものひじょうに大きな応力集中を生じていることがわかる。

以上に述べた計算例から、このような手法により断続形式合成げた(単純げたおよび連続げた)の力学的特性を明らかにすることができるものと思われる。なお、各パラメータを種々変化させた場合の特性の変化等については講演当日申し述べる。

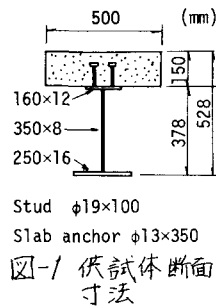
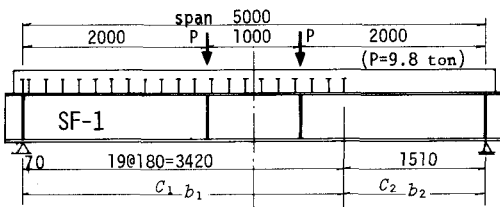


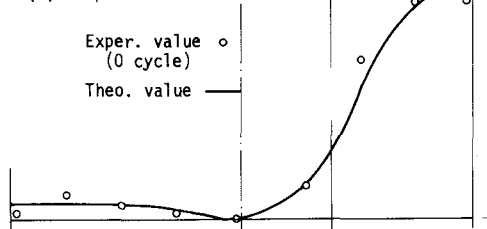
表-1 各パラメータの値

| Beam                  | SF-1            | SF-2            |
|-----------------------|-----------------|-----------------|
| $N$ (cycle)           | 0               | 0               |
| $k$ (kg/cm)           | $3 \times 10^5$ | $3 \times 10^5$ |
| $C_i$                 |                 |                 |
| $C_1$                 | 33300           | 5450            |
| $C_2$                 | 250             | 33300           |
| (kg/cm <sup>2</sup> ) |                 | 22200           |
| $C_3$                 | —               | 150             |
| $b_1$                 | 349             | 115             |
| $b_2$                 | 151             | 270             |
| (cm)                  |                 | 250             |
| $b_3$                 | —               | 115             |
|                       |                 | 135             |

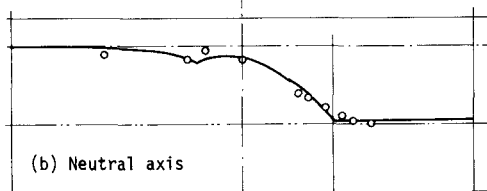
図-1 供試体断面寸法



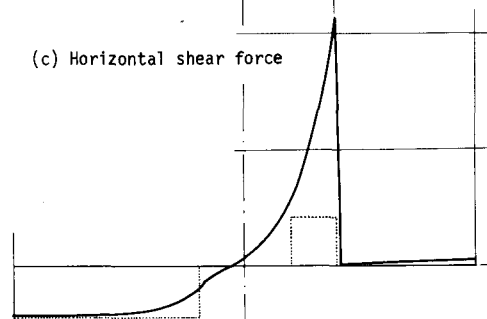
(a) Slip



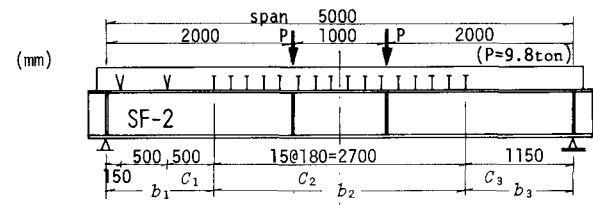
Exper. value ○  
(0 cycle)  
Theo. value —



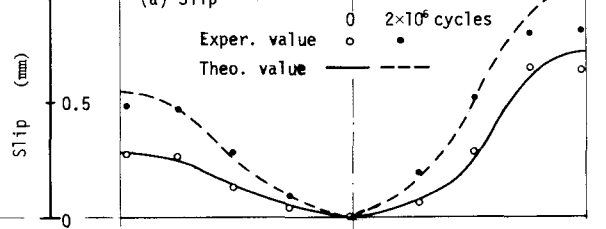
(b) Neutral axis



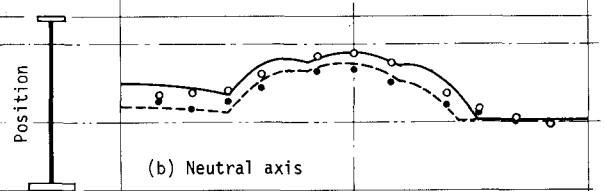
(c) Horizontal shear force



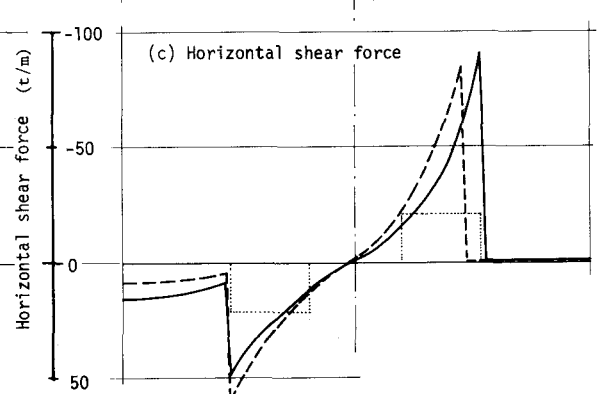
(a) Slip



Exper. value ○  
Theo. value —



(b) Neutral axis



(c) Horizontal shear force

図-2 SF-1げたに対する計算例

#### 参考文献

- 1) 前田 他 5名, 昭和47年度関西支部年次講演会, I-56
- 2) 前田 他 4名, 昭和48年度 " " , I-28
- 3) 前田 他 2名, 第11回日本道路会議, 520, 昭和48年

図-3 SF-2げたに対する計算例

- 4) 前田 他 2名, 昭和49年度関西支部年次講演会, I-41
- 5) N.M. Newmark 他 2名, Proc. of the Society for Experimental Stress Analysis, vol. IX, No. 1, 1957